

2009年2月12日 修士論文公聴会

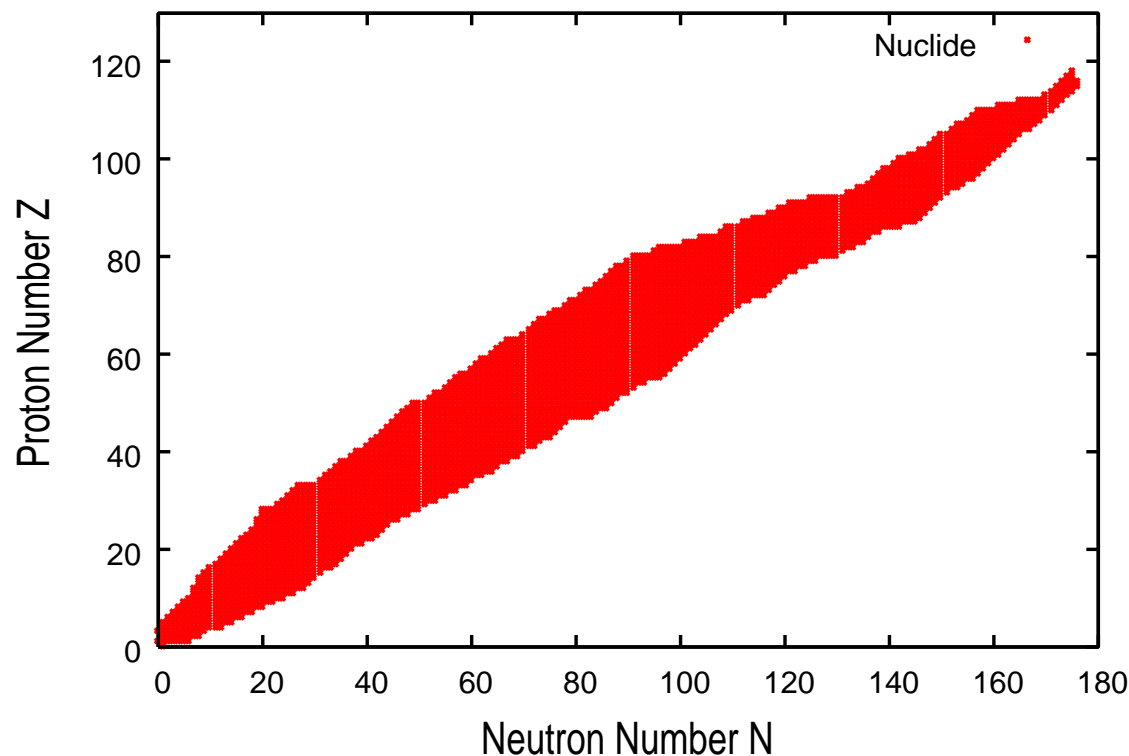
# 球対称平均場模型と 近似的な変形の扱いによる原子核質量公式

福井大学大学院 物理工学専攻 原子核理論研究室

07780133 山田 昌平

## 背景

存在が確認されている原子核 : 『約3,000種』  
原子核の性質  $\Rightarrow$  原子核の質量 (エネルギーと等価)



2003年版原子質量推奨値表 (G.Audi, A.H.Wapstra)

# 研究の目的

理論的な予測手段

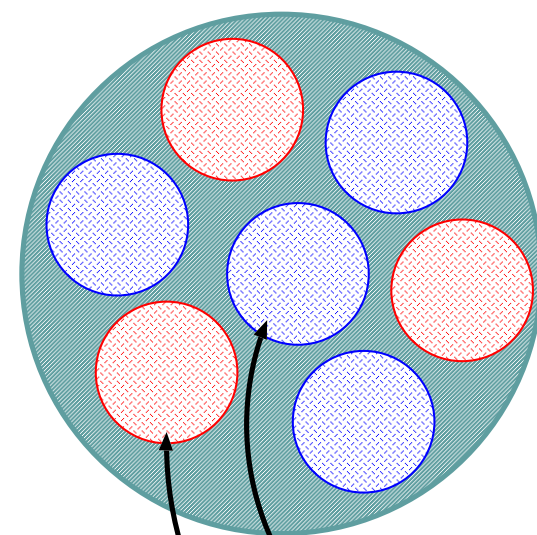
『原子核の質量公式』

## 質量公式

原子核の質量を  
中性子の個数と陽子の個数の関数  
として与えるもの

昔	-	式
現在	-	プログラム

nucleus

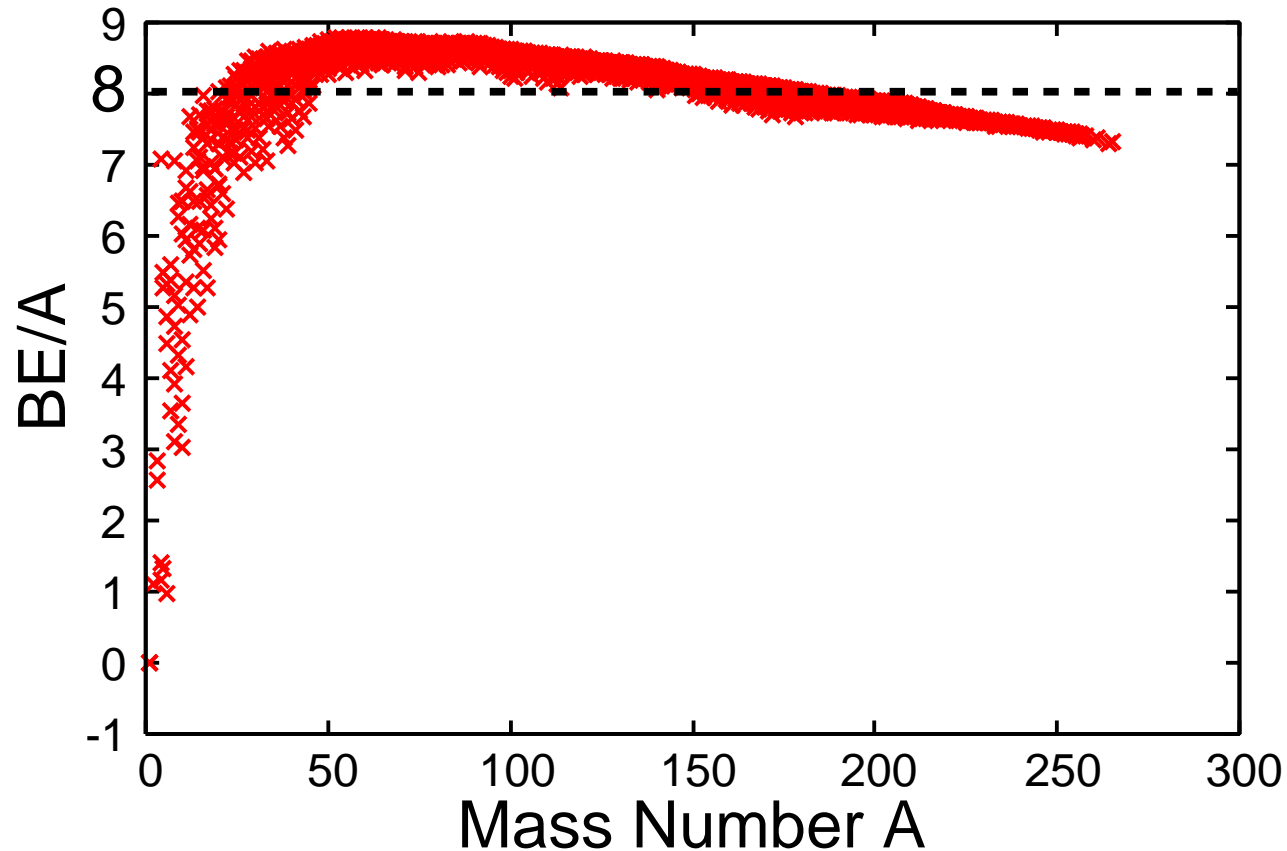


Neutron  
Proton

# 原子核の結合エネルギー

1核子(中性子、陽子の総称)当たりの結合エネルギー：約8.0MeV

⇒ 結合エネルギーの飽和性



# 液滴模型

Weizsäcker-Betheの質量公式(1930年代)

$$BE(N, Z) = B_{\text{vol}} + B_{\text{surf}} + B_{\text{sym}} + B_{\text{C}} + B_{\text{eo}}$$

体積項  $B_{\text{vol}} = a_{\text{vol}}A$

表面項  $B_{\text{surf}} = a_{\text{surf}}A^{2/3}$

対称項  $B_{\text{sym}} = a_{\text{sym}}\frac{(N - Z)^2}{A}$

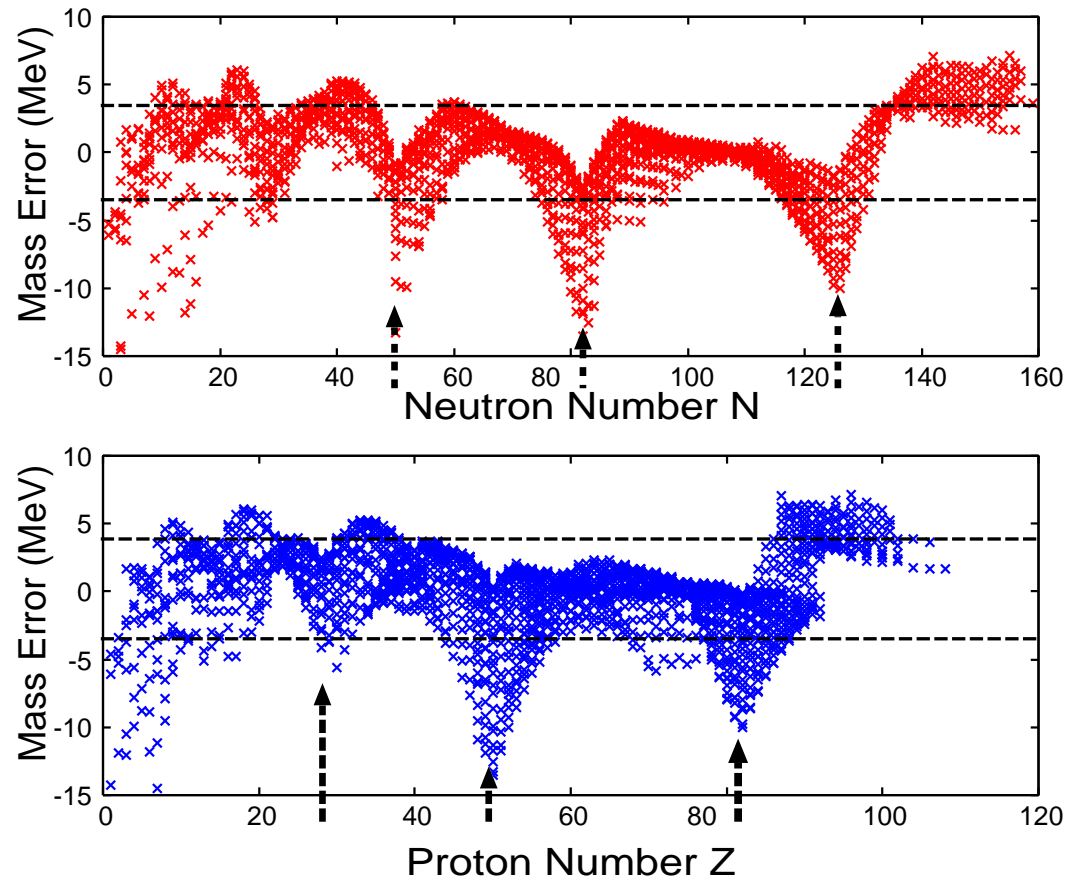
Coulomb項  $B_{\text{C}} = a_{\text{C}}\frac{Z^2}{A^{1/3}}$

偶奇項  $B_{\text{eo}} = \begin{cases} a_{\text{eo}}/A^{1/2} & \text{(偶偶核)} \\ 0 & \text{(奇核)} \\ -a_{\text{eo}}/A^{1/2} & \text{(奇奇核)} \end{cases}$

5つのパラメータはフィッティングで決定

# WB質量公式の値と実験値の比較

平均誤差：約 3.4 MeV



原子核の魔法数：2, 8, 20, 28, 50, 82, 126

# 原子核の殻構造

## 独立粒子模型

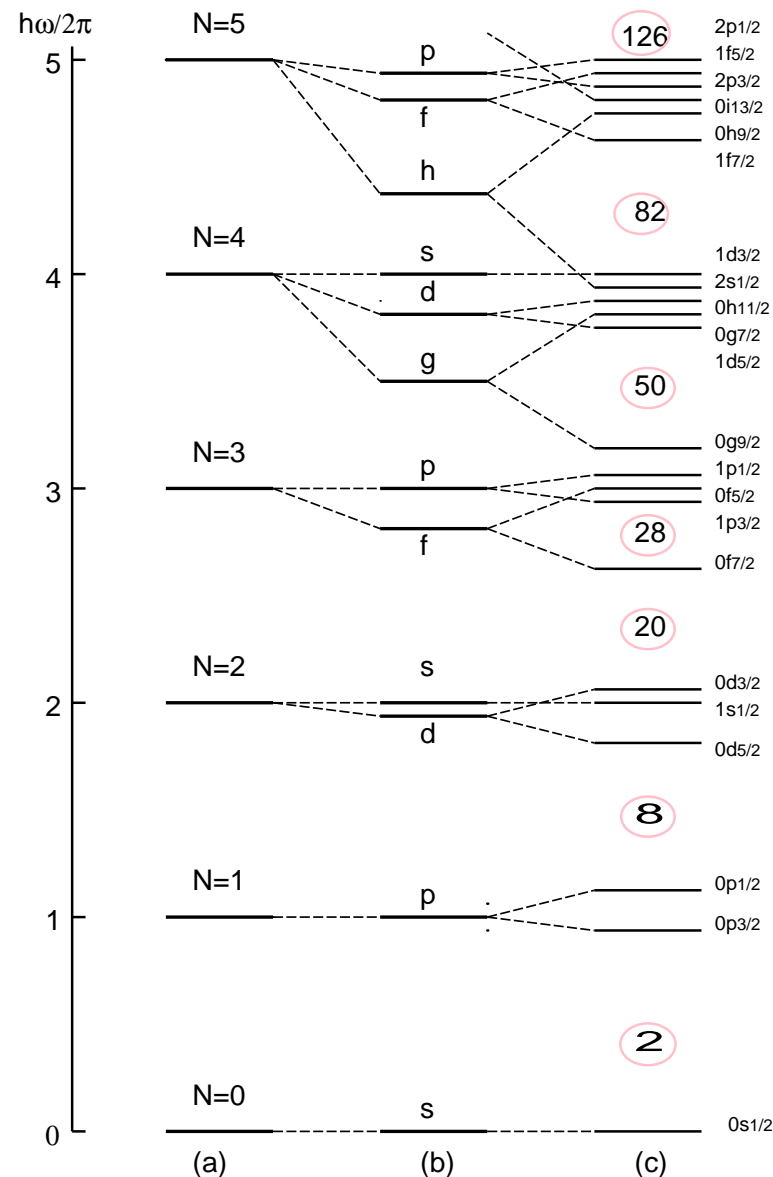
- 全核子が平均的な 1 体ポテンシャルを構成
- ポテンシャル中を各核子が独立に運動
- 個々の核子はエネルギー固有値を持つ

## *jj* 結合殻模型 (1949 年 Mayer, Jensen)

スピン軌道力の重要性

スピン軌道結合ポテンシャルを導入

魔法数を説明



(a) 調和振動子型ポテンシャル

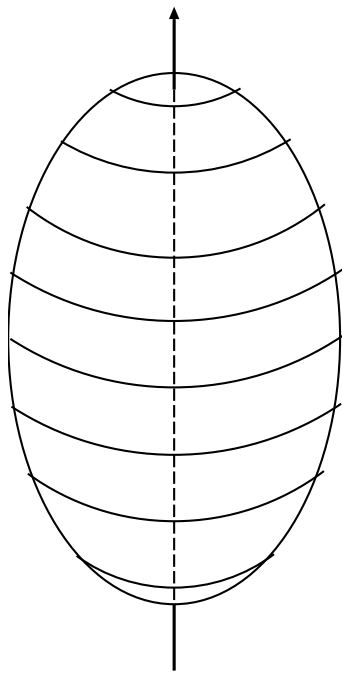
(b) Woods-Saxon 型ポテンシャル

(c) スピン軌道結合ポテンシャルの導入

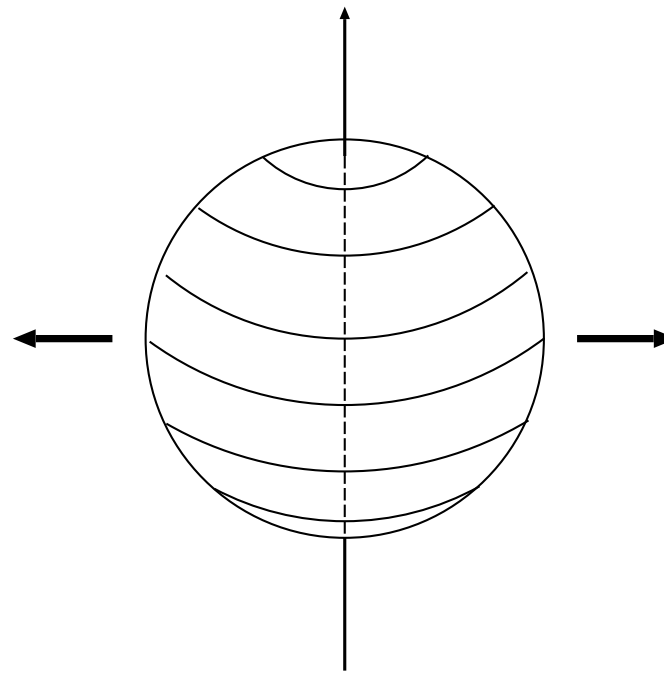
## 核(原子核)の変形

陽子数(中性子数)が魔法数から離れた領域 → 核が変形

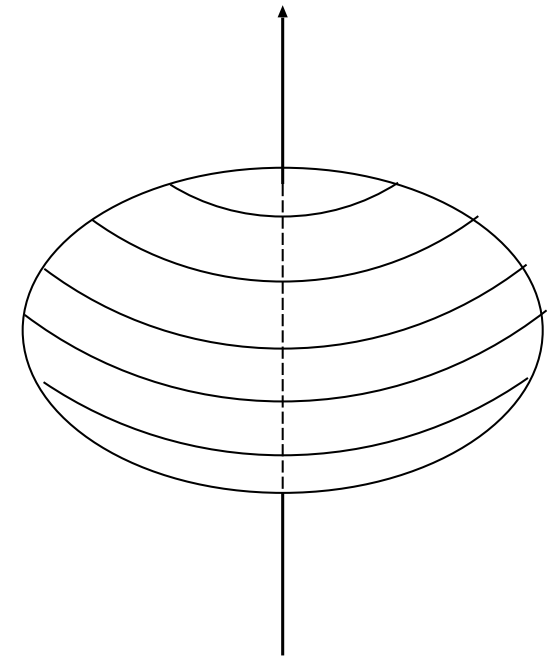
核の安定な形は必ずしも球形ではなく、楕円体の形になっている



Prolate Shape



Sphere



Oblate Shape

## KUTY公式

2000年に小浦氏、宇野氏、橘氏、山田氏が発表

特徴：変形核を球形核の重畳と見る近似

メリット

変形核を考慮した計算時間 → 非常に長時間

球対称性を仮定した計算時間 → 比較的短時間

その差、約3桁 ⇒ 計算量が激減

(広範なパラメータの最適化が可能になる)

## KUTY 公式と本研究との違い

### KUTY 公式

平均場模型として、  
Woods-Saxonポテンシャルを使用

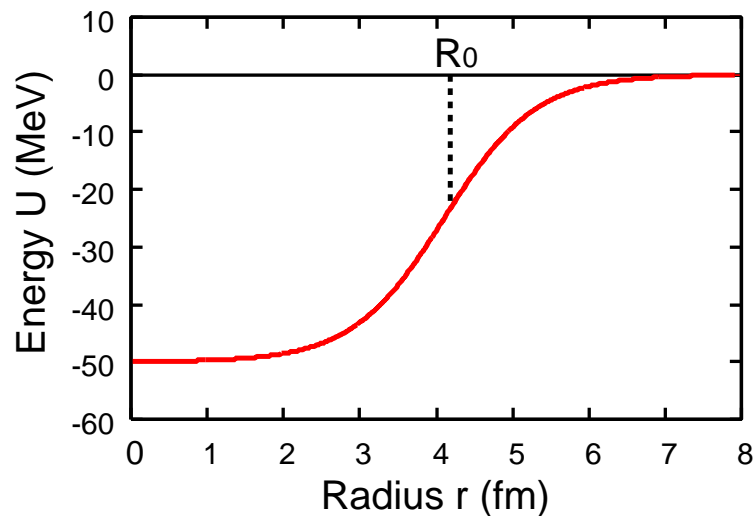


$$U(r) = \frac{U_0}{1 + \exp\{(r - R_0)/a\}}$$

$U_0$  : ポテンシャルの深さ

$R_0$  : 核半径

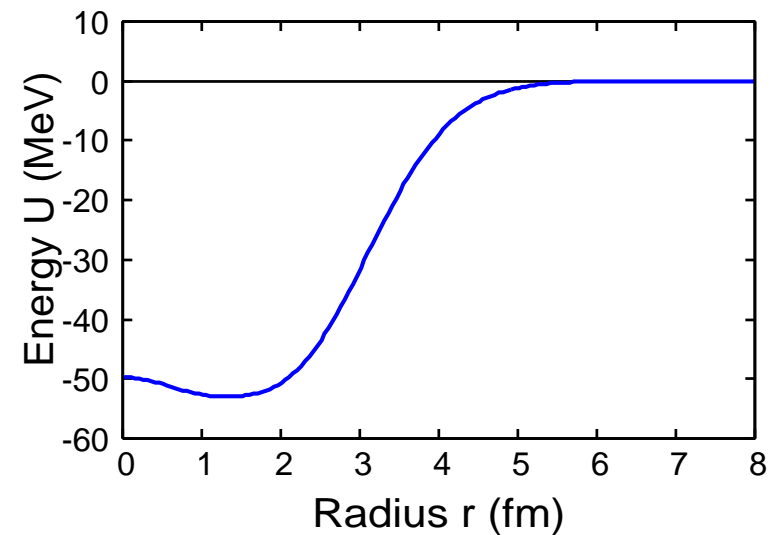
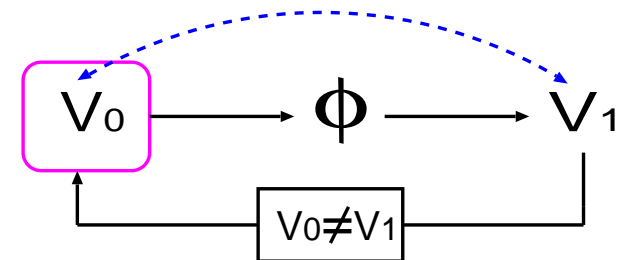
$a$  : 核表面のぼやけを表すパラメータ



### 本研究

自己無撞着平均場で置き換える

⇒ Skyrme-Hartree-Fock法



# Skyrme相互作用

核内核子間に働く有効相互作用の現象論的モデル

$$V_{\text{Skyrme}} = \frac{1}{2} \sum_{i < j} v_{ij}$$

$$\begin{aligned} \text{密度依存 2 体力 : } v_{12} = & t_0(1 + x_0 \hat{P}_\sigma) \delta(\vec{r}_1 - \vec{r}_2) \\ & + \frac{t_1}{2}(1 + x_1 \hat{P}_\sigma) \left( \delta(\vec{r}_1 - \vec{r}_2) \hat{k}^2 + \hat{k}'^2 \delta(\vec{r}_1 - \vec{r}_2) \right) \\ & + t_2(1 + x_2 \hat{P}_\sigma) \hat{k}^2 \cdot \delta(\vec{r}_1 - \vec{r}_2) \hat{k} \\ & + \frac{t_3}{6}(1 + x_3 \hat{P}_\sigma) \rho^\sigma \delta(\vec{r}_1 - \vec{r}_2) \\ & + iW_0(\hat{\sigma}_1 + \hat{\sigma}_2) \cdot \hat{k}' \times \delta(\vec{r}_1 - \vec{r}_2) \hat{k} \end{aligned}$$

1.  $\delta$ 関数で表される  $\rightarrow$  計算しやすい
2. 各パラメータは実験データへのフィッティングで決定

# KUTY 流近似的な変形の扱い方

1. 変形核は球形核の重ね合わせとして扱う
2. 変形核の固有殻エネルギー  $E_{\text{in}}$  は、  
重ね合わせの重み  $W(N_1)$  と球形殻エネルギー  $E_s$  によって表せるとする

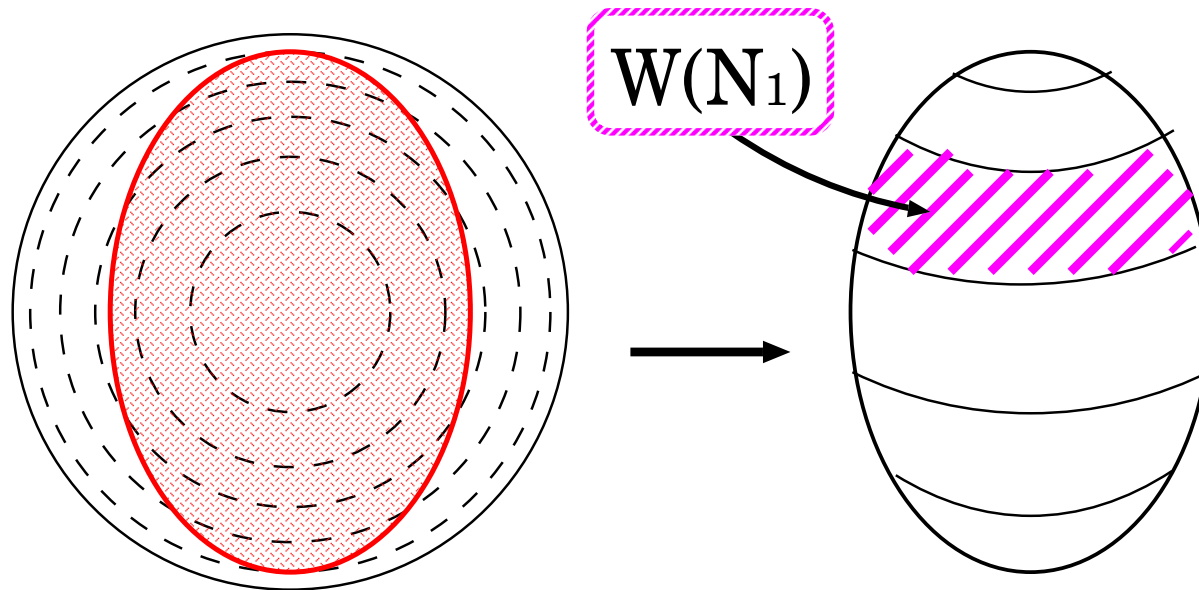
$$E_{\text{in}}(N, Z) = \sum_{N_1} W(N_1) E_s(N_1, Z_1), \quad Z_1 = \frac{Z}{N} N_1$$
$$\sum_{N_1} W(N_1) = 1 \quad (\text{規格化条件})$$

3. 全殻エネルギー  $E_{\text{sh}} = \text{固有殻エネルギー } E_{\text{in}} + \text{液滴の平均変形エネルギー } \bar{E}_{\text{def}}$   
 $E_{\text{sh}}$  が最小になるよう、変形を決める

## 重ね合わせの重み $W$ の決定

核子 1 個増える  $\rightarrow$  核の半径長くなる

球体から余分な所を削り落とし、各準位の所が露出した立体角



$$W(N_1) = -\frac{1}{4\pi} \cdot \frac{d\Omega_{\text{im}}(r_{\text{im}}(N_1))}{dN_1}$$

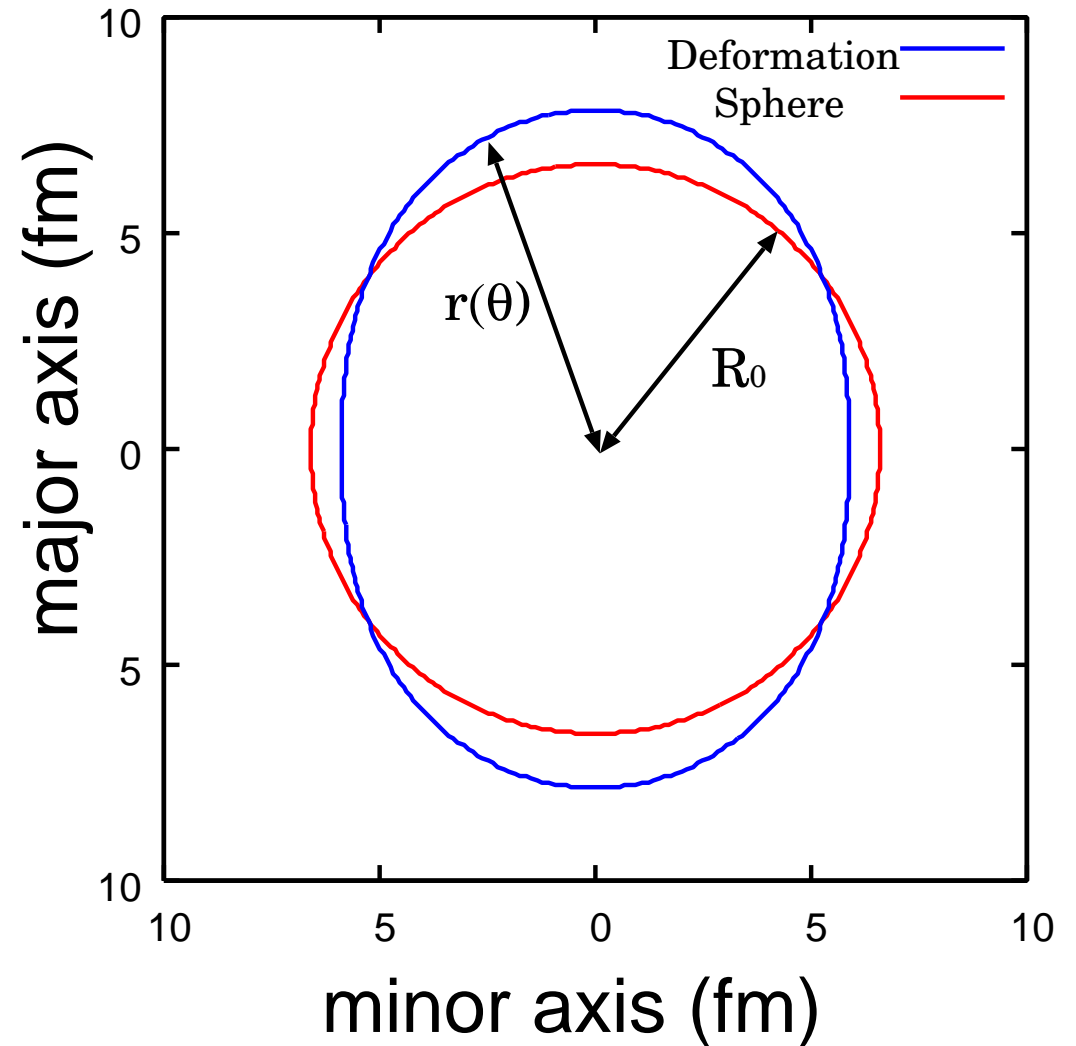
## 変形度 $\alpha_2$

$$r(\theta) = \frac{R_0}{\lambda} [1 + \alpha_2 P_2(\cos \theta)]$$

球体の半径	$R_0(Z, N)$
体積保存	$\lambda$
変形のパラメータ	$\alpha_2$
Legendre 多項式	$P_2(\cos \theta)$

⇒ 中間形状を導入

Z=68 N=98 [Er]  $\alpha_2=0.2$



## 重み $W$ の変数 $N_1, Z_1$

$$N_1 = \left(\frac{r_1}{R_0}\right)^3 N \quad , \quad Z_1 = \left(\frac{r_1}{R_0}\right)^3 Z$$

半径  $r_1 \iff N_1$  と  $Z_1$

半径  $R_0 \iff N$  と  $Z$

## 重ね合わせの重み $W$ の求め方

$$W(N_1) = \frac{1}{4\pi} \left[ \Omega_{\text{im}}(r_{\text{im}}(N_1 - \frac{1}{2})) - \Omega_{\text{im}}(r_{\text{im}}(N_1 + \frac{1}{2})) \right]$$

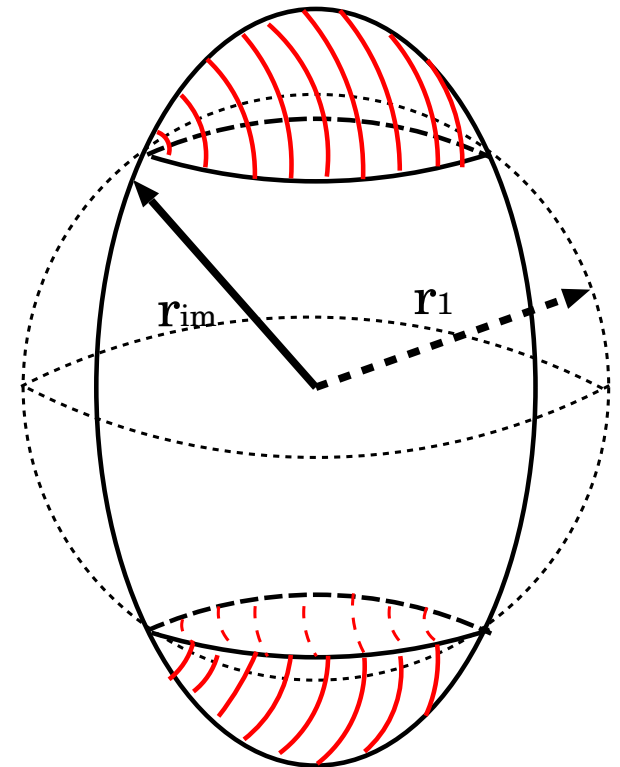
中間形状 (intermediary-shape) の立体角  $\Omega_{\text{im}}$  は

$r_{\text{im}} > r_1$  である方向の立体角  $\Rightarrow$

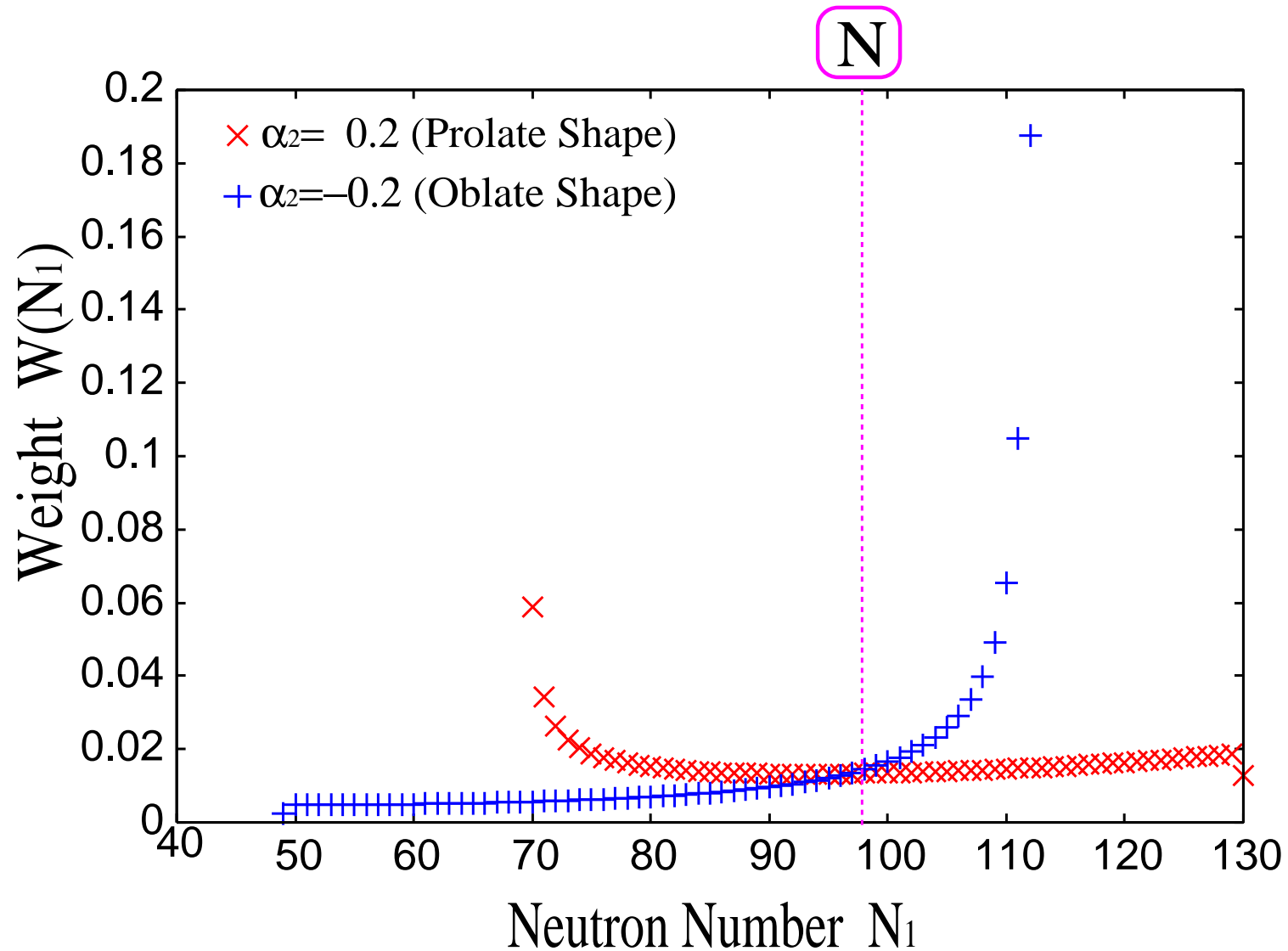
$$\Omega_{\text{im}} = \begin{cases} \frac{4\pi(1-\cos\theta)}{1-h\cos\theta} \left(\frac{r}{r_{\text{im}}}\right)^2 & \text{(Prolate)} \\ \frac{4\pi\cos\theta}{1-h(1-\cos\theta)} \left(\frac{r}{r_{\text{im}}}\right)^2 & \text{(Oblate)} \end{cases}$$

各値を求めるプロセス

$$N_1 \longrightarrow r_{\text{im}} \longrightarrow \theta \longrightarrow r$$



# $Z = 68, N = 98$ エルビウムの重み $W$



## 平均変形エネルギー $\bar{E}_{\text{def}}$

変形に依存する巨視的エネルギー

変形を抑える働き

$$\bar{E}_{\text{def}} = \Delta E_s + \Delta E_C + \Delta E_{\text{prl}}$$

表面エネルギー  $\Delta E_s = \frac{2}{5}\alpha_2^2(a_s A^{2/3} - a_{sI}(N - Z)^2 A^{-4/3})$

Coulomb エネルギー  $\Delta E_C = -\frac{1}{5}\alpha_2^2 a_C Z^2 A^{-1/3}$

Prolate 優勢エネルギー  $\Delta E_{\text{prl}} = -C_{\text{prl}1}\alpha_2 A^{2/3} \exp[-C_{\text{prl}2}\alpha_2^2]$

## 全殻エネルギー $E_{sh}$

$$E_{sh}(N, Z) = \min_{\alpha_2} [E_{in}(N, Z) + \bar{E}_{def}(N, Z)]$$

固有殻エネルギー  $E_{in}$  + 平均変形エネルギー  $\bar{E}_{def}$   $\rightarrow$  最小

$\Downarrow$

$$E_{in}(N, Z) = \sum_{N_1} W(N_1) \left[ \{E_{mf}(N_1, Z_1) - E_g(N_1, Z_1)\} - \{E_{mf}(N, Z) - E_g(N, Z)\} \right]$$

$E_{mf}(N, Z)$  球形平均場エネルギー

$E_g(N, Z)$   $E_{mf}(N, Z)$  にフィットした WB 質量公式から求めたエネルギー

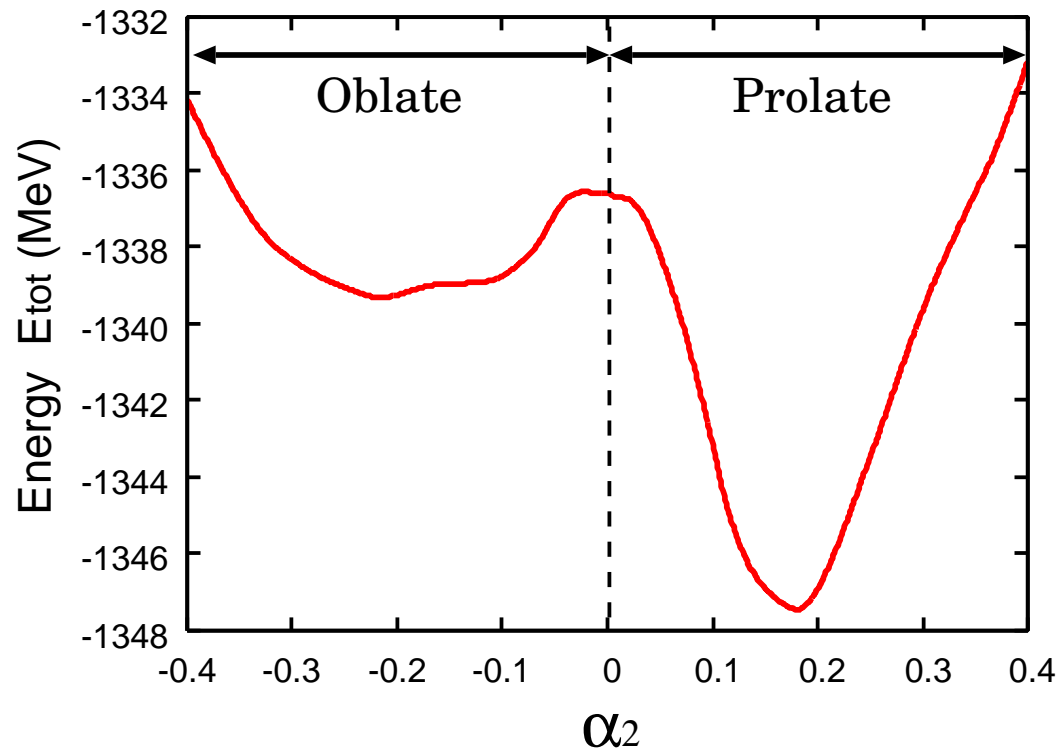
$E_{mf}(N, Z) - E_g(N, Z) \Rightarrow$  殻エネルギーとみなす

# 核の全エネルギー $E_{\text{tot}}$

$$E_{\text{tot}}(N, Z) = E_{\text{sh}}(N, Z) + E_{\text{mf}}(N, Z) + E_{\text{eo}}(N, Z)$$

偶奇エネルギー  $E_{\text{eo}}$

$Z = 68, N = 98$  エルビウム



## 新しい質量公式

$$M(N, Z) = Nm_n + Zm_p + E_{\text{tot}}(N, Z)$$

中性子質量  $m_n = 939.5652 \text{ MeV}$

陽子質量  $m_p = 938.2720 \text{ MeV}$

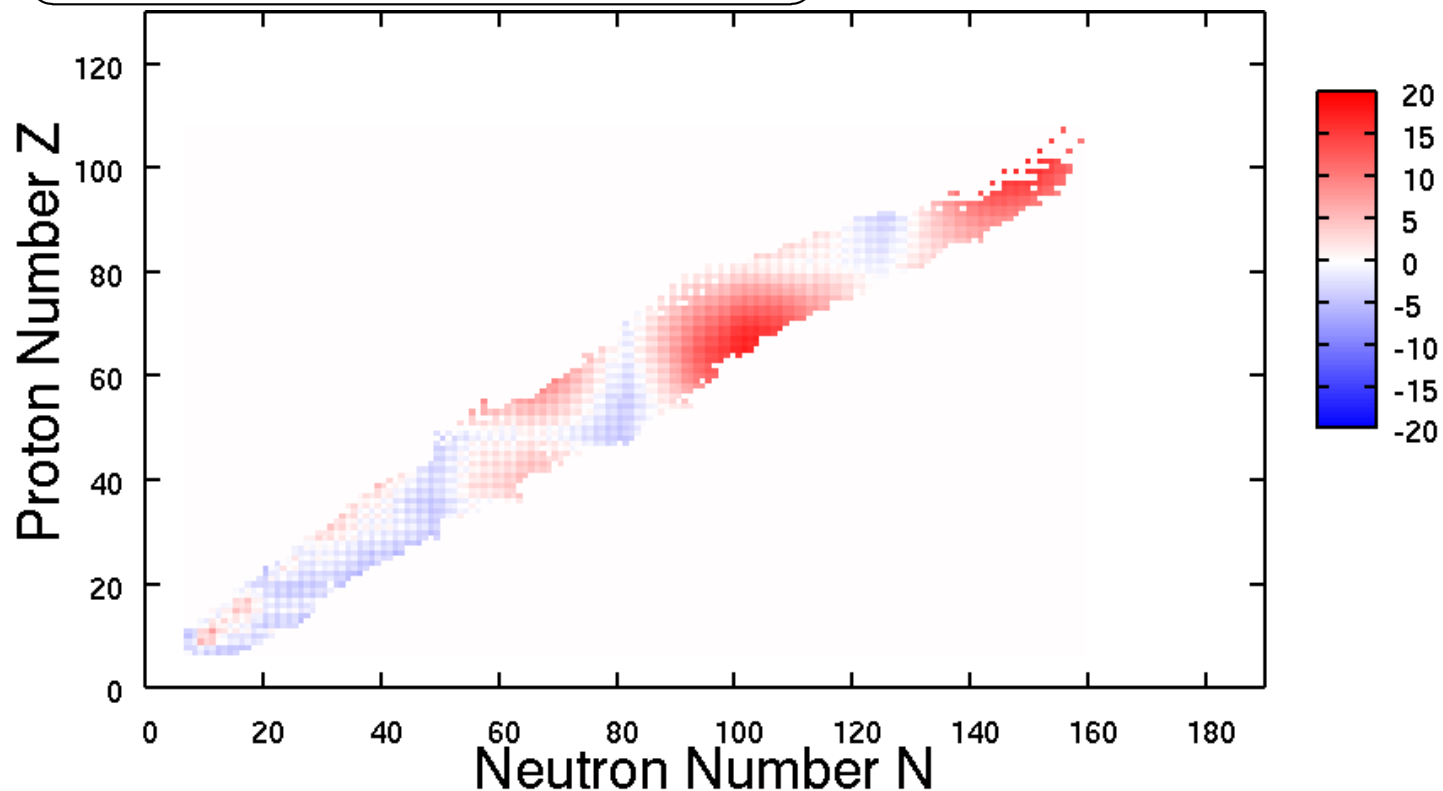
# 球対称平均場計算値と実験値の比較

核種: 2, 147種

Skyrme相互作用のパラメータ: SIII

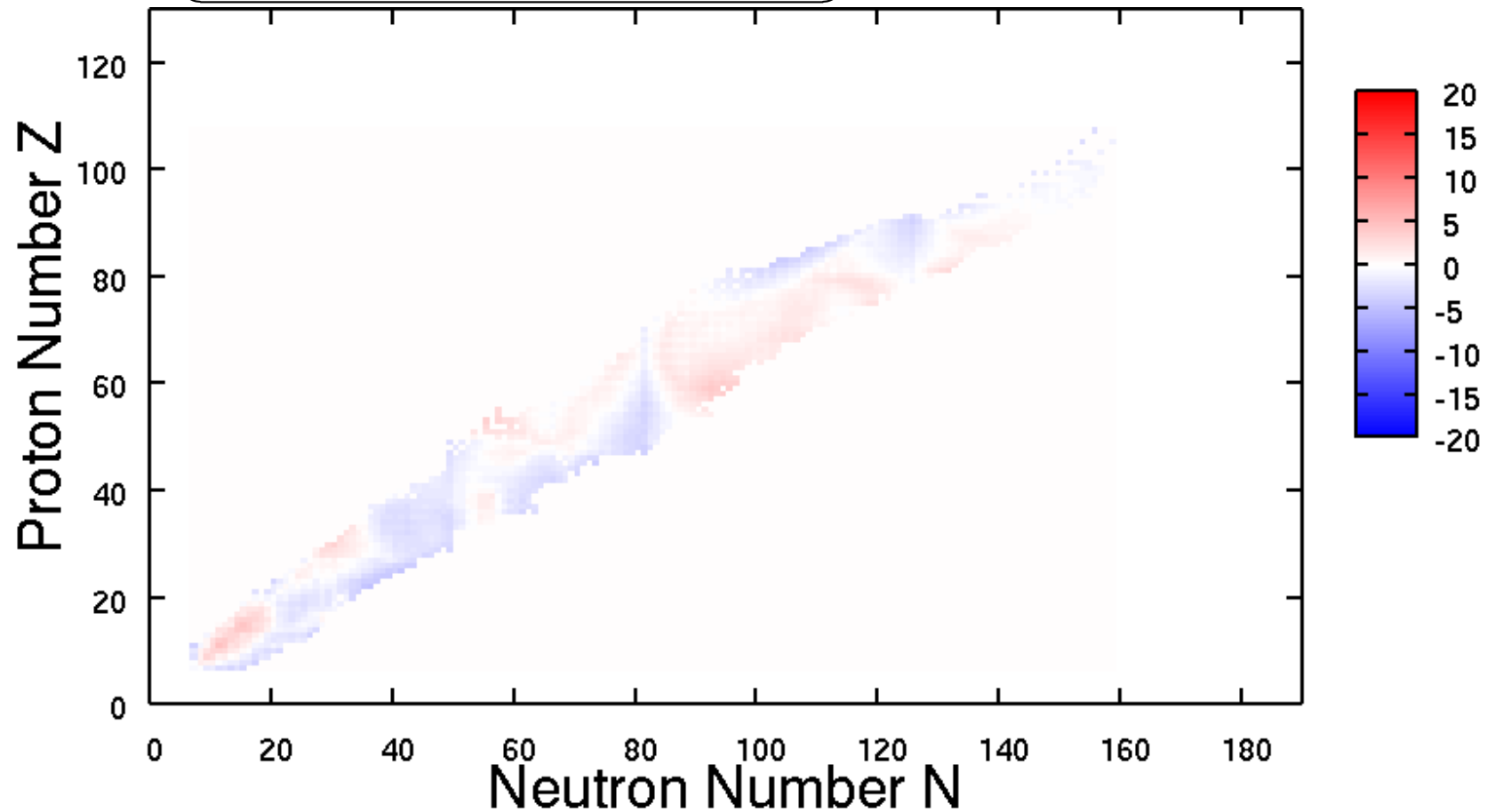
**RMS 誤差 : 5.06MeV**

**> WB 公式 : 3.4MeV**



## 新しい質量公式の値と実験値の比較

**RMS 誤差 : 1.60MeV** ⇒ 約 7 割減少



## まとめ

G.Audi、A.H.Wapstraの表にある1,140核種の質量の実験値からのRMS誤差  
球対称平均場計算(既存の相互作用SkyrmeSIII力を用いた)  $\Rightarrow$  5.0 MeV

Weizsäcker-Bethe 公式(最小2乗法で実験値にフィット)  $\Rightarrow$  3.4 MeV

変形を取り入れた平均場計算(SkyrmeSIII)  $\Rightarrow$  2.2 MeV

今回の新公式(球形SkyrmeSIII,変形の近似的扱い,1パラメータを最適化)  $\Rightarrow$  1.6 MeV

KUTY 公式(約80パラメータ)  $\Rightarrow$  0.72 MeV

## 今後の課題

1. 相互作用パラメータも含め、最適化するパラメータを増やすことで、RMS誤差がKUTY公式を下まわるまで、下がるかを調べる。
2. 未知の領域への外挿の信頼性が高い  
『相対論的平均場模型』とも組み合わせる。

## 付録 1 : 中間形状 (intermediary-shape)

仮想的な中間形状を導入

座標変換 :  $r \rightarrow r_{\text{im}}$

$$\begin{cases} dr_{\text{im}} = \left\{ 1 - h \left[ 1 - \frac{\Omega_{\text{oc}}(r)}{4\pi} \right] \right\} dr \\ \Omega_{\text{im}}(r_{\text{im}}) r_{\text{im}}^2 dr_{\text{im}} = \Omega_{\text{oc}}(r) r^2 dr \end{cases}$$

パラメータ

$h$

占有立体角

$\Omega_{\text{oc}}$

中間形状の占有立体角

$\Omega_{\text{im}}$

$$r_{\text{im}}(\theta) = R_{\text{min}} + \int_{\theta_{\text{min}}}^{\theta} \frac{dr_{\text{im}}}{dr} \cdot \frac{dr}{d\theta} d\theta$$

## 付録 2 : KUTY 公式の変形パラメータ

$$r(\theta) = \frac{R_0}{\lambda} [1 + \alpha_2 P_2(\cos \theta) + \alpha_4 P_4(\cos \theta) + \alpha_6 P_6(\cos \theta)]$$

変形のパラメータ  $\alpha_2, \alpha_4, \alpha_6$   
2*i* 次の Legendre 多項式  $P_{2i}(\cos \theta)$

## 付録3 : Prolate優位性

**[結論]** 理由は、よくわかっていない

1. 井戸型説 - ポテンシャルの動径方向が、井戸型に近いため
2. スピン軌道結合説 - スピン軌道力が影響
3. 16重極変形説 - 16重極変形の効果
4. 対相関説 - 対相関の効果